



Interface graphique v.5.4.0.4

Outil de calculV5.52

Flux Thermiques

Détermination des distances d'effets

Utilisateur :	Floriane_PIREDDA
Société :	
Nom du Projet :	2022PLESSISPATESURG
Cellule :	
Commentaire :	
Création du fichier de données d'entrée :	03/03/2022 à 08:26:21 avec l'interface graphique v. 5.4.0.4
Date de création du fichier de résultats :	3/3/22

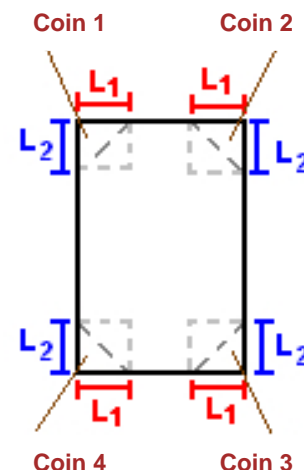
I. DONNEES D'ENTREE :

Donnée Cible

Hauteur de la cible : **1,8 m**

Géométrie Cellule1

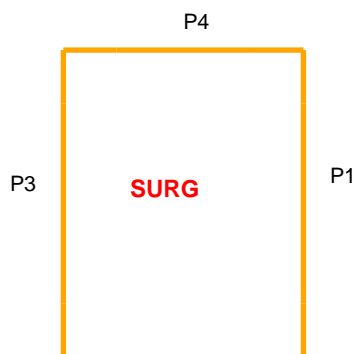
Nom de la Cellule :SURG			
Longueur maximum de la cellule (m)		76,0	
Largeur maximum de la cellule (m)		42,0	
Hauteur maximum de la cellule (m)		16,3	
Coin 1	non tronqué	L1 (m)	0,0
		L2 (m)	0,0
Coin 2	non tronqué	L1 (m)	0,0
		L2 (m)	0,0
Coin 3	non tronqué	L1 (m)	0,0
		L2 (m)	0,0
Coin 4	non tronqué	L1 (m)	0,0
		L2 (m)	0,0
Hauteur complexe			
	1	2	3
L (m)	0,0	0,0	0,0
H (m)	0,0	0,0	0,0
H sto (m)	0,0	0,0	0,0



Toiture

Résistance au feu des poutres (min)	60
Résistance au feu des pannes (min)	60
Matériaux constituant la couverture	metallique multicouches
Nombre d'exutoires	11
Longueur des exutoires (m)	3,0
Largeur des exutoires (m)	2,0

Parois de la cellule : SURG



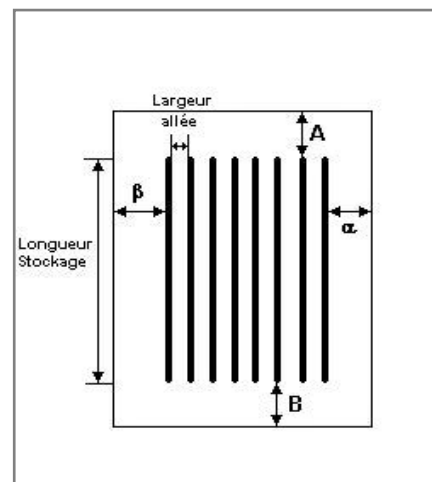
P2	Paroi P1	Paroi P2	Paroi P3	Paroi P4
Composantes de la Paroi	Monocomposante	Multicomposante	Monocomposante	Monocomposante
Structure Support	Poteau beton	Poteau beton	Poteau beton	Poteau beton
Nombre de Portes de quais	0	0	0	0
Largeur des portes (m)	0,0	0,0	0,0	0,0
Hauteur des portes (m)	4,0	0,0	0,0	0,0
	<i>Un seul type de paroi</i>	<i>Partie en haut à gauche</i>	<i>Un seul type de paroi</i>	<i>Un seul type de paroi</i>
Matériau	Panneaux sandwich-laine de roche	Panneaux sandwich-polyurethane	Panneaux sandwich-polyurethane	Panneaux sandwich-laine de roche
R(i) : Résistance Structure(min)	120	60	60	120
E(i) : Etanchéité aux gaz (min)	120	0	0	120
I(i) : Critère d'isolation de paroi (min)	120	0	0	120
Y(i) : Résistance des Fixations (min)	120	0	0	120
Largeur (m)		38,0		
Hauteur (m)		16,3		
		<i>Partie en haut à droite</i>		
Matériau		Panneaux sandwich-laine de roche		
R(i) : Résistance Structure(min)		120		
E(i) : Etanchéité aux gaz (min)		120		
I(i) : Critère d'isolation de paroi (min)		120		
Y(i) : Résistance des Fixations (min)		120		
Largeur (m)		4,0		
Hauteur (m)		16,3		
		<i>Partie en bas à gauche</i>		
Matériau		Panneaux sandwich-polyurethane		
R(i) : Résistance Structure(min)		60		
E(i) : Etanchéité aux gaz (min)		0		
I(i) : Critère d'isolation de paroi (min)		0		
Y(i) : Résistance des Fixations (min)		0		
Largeur (m)		38,0		
Hauteur (m)		0,0		
		<i>Partie en bas à droite</i>		
Matériau		bardage simple peau		
R(i) : Résistance Structure(min)		0		
E(i) : Etanchéité aux gaz (min)		0		
I(i) : Critère d'isolation de paroi (min)		0		
Y(i) : Résistance des Fixations (min)		0		
Largeur (m)		4,0		
Hauteur (m)		8,1		

Stockage de la cellule : SURG

Nombre de niveaux **5**
Mode de stockage **Rack**

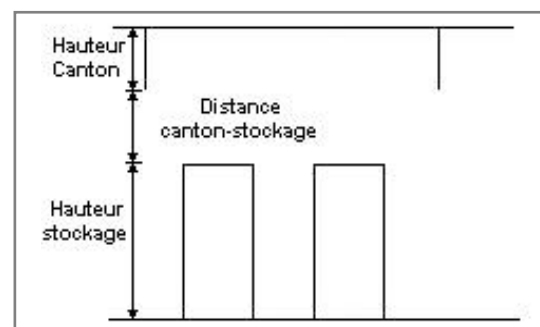
Dimensions

Longueur de stockage **72,0** m
Déport latéral a **0,2** m
Déport latéral b **0,2** m
Longueur de préparation A **3,8** m
Longueur de préparation B **0,2** m
Hauteur maximum de stockage **11,0** m
Hauteur du canton **1,0** m
Ecart entre le haut du stockage et le canton **4,3** m



Stockage en rack

Sens du stockage **dans le sens de la paroi 1**
Nombre de double racks **6**
Largeur d'un double rack **2,4** m
Nombre de racks simples **2**
Largeur d'un rack simple **1,2** m
Largeur des allées entre les racks **3,5** m



Palette type de la cellule SURG

Dimensions Palette

Longueur de la palette : **1,2** m
Largeur de la palette : **0,8** m
Hauteur de la palette : **2,0** m
Volume de la palette : **1,9** m³

Nom de la palette : **PAL_STEF_SURG**

Poids total de la palette : **500,0** kg

Composition de la Palette (Masse en kg)

Bois	NC	NC	NC	NC	NC	NC
500,0	0,0	0,0	0,0	0,0	0,0	0,0

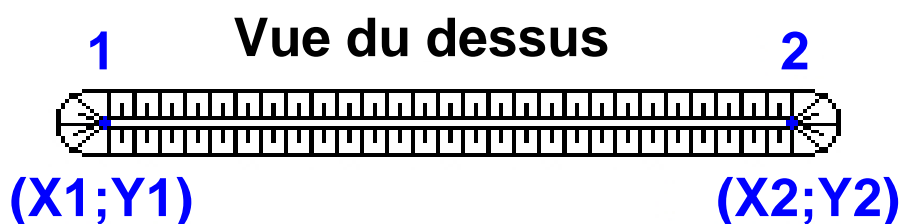
NC	NC	NC	NC	NC	NC	NC
0,0	0,0	0,0	0,0	0,0	0,0	0,0

NC	NC	NC	NC
0,0	0,0	0,0	0,0

Données supplémentaires

Durée de combustion de la palette : **7,3** min
Puissance dégagée par la palette : **980,0** kW

Merlons



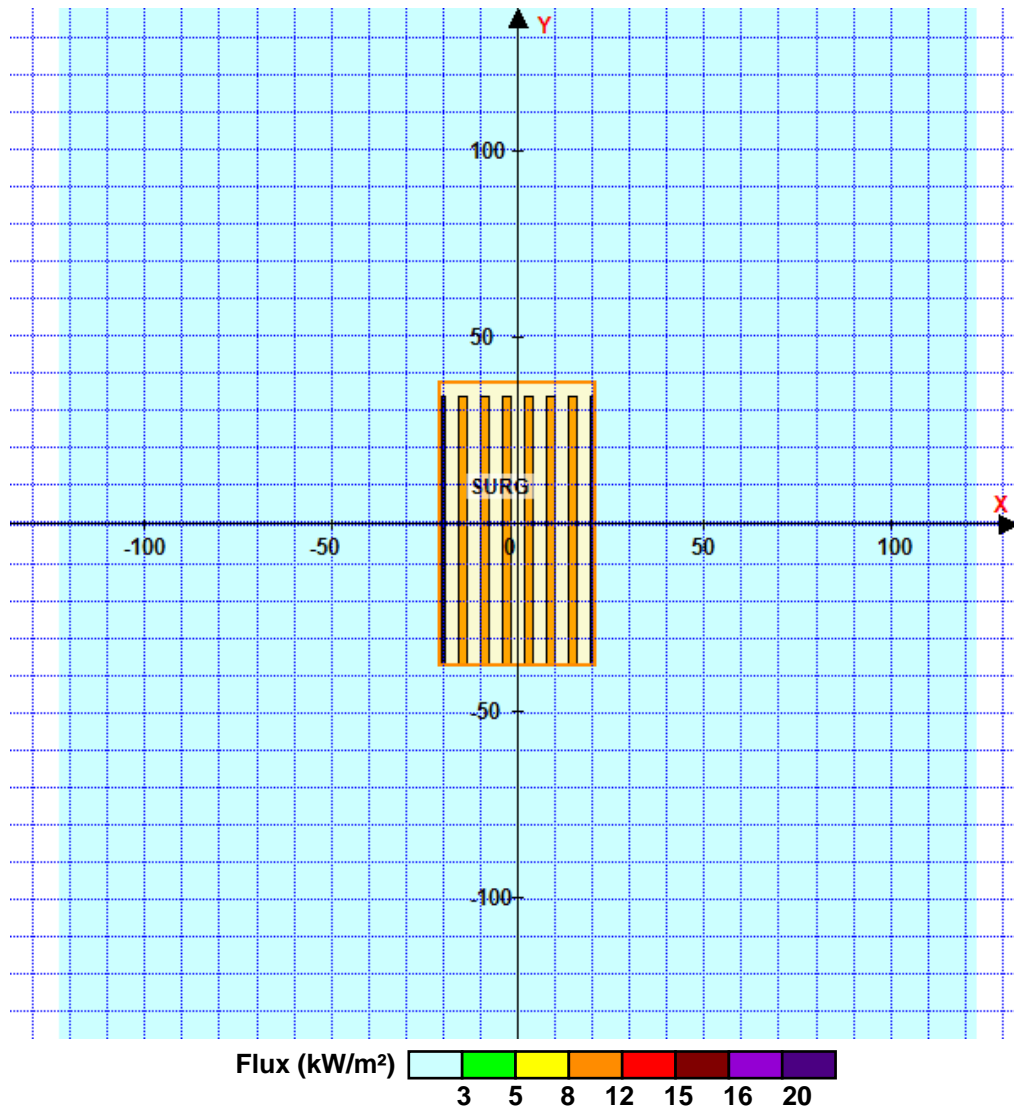
Merlon n°	Hauteur (m)	Coordonnées du premier point		Coordonnées du deuxième point	
		X1 (m)	Y1 (m)	X2 (m)	Y2 (m)
1	0,0	0,0	0,0	0,0	0,0
2	0,0	0,0	0,0	0,0	0,0
3	0,0	0,0	0,0	0,0	0,0
4	0,0	0,0	0,0	0,0	0,0
5	0,0	0,0	0,0	0,0	0,0
6	0,0	0,0	0,0	0,0	0,0
7	0,0	0,0	0,0	0,0	0,0
8	0,0	0,0	0,0	0,0	0,0
9	0,0	0,0	0,0	0,0	0,0
10	0,0	0,0	0,0	0,0	0,0
11	0,0	0,0	0,0	0,0	0,0
12	0,0	0,0	0,0	0,0	0,0
13	0,0	0,0	0,0	0,0	0,0
14	0,0	0,0	0,0	0,0	0,0
15	0,0	0,0	0,0	0,0	0,0
16	0,0	0,0	0,0	0,0	0,0
17	0,0	0,0	0,0	0,0	0,0
18	0,0	0,0	0,0	0,0	0,0
19	0,0	0,0	0,0	0,0	0,0
20	0,0	0,0	0,0	0,0	0,0

II. RESULTATS :

Départ de l'incendie dans la cellule : **SURG**

Durée de l'incendie dans la cellule : SURG **63,0** min

Distance d'effets des flux maximum



Pour information : Dans l'environnement proche de la flamme, le transfert convectif de chaleur ne peut être négligé. Il est donc préconisé pour de faibles distances d'effets comprises entre 1 et 5 m de retenir une distance d'effets de 5 m et pour celles comprises entre 6 m et 10 m de retenir 10 m.